

## مقایسه‌ی سازوکارهای کامل و کاهش‌یافته‌ی سینتیک احتراق متان

### در مدل‌سازی عددی مشعل متخلخل

مصطفی خسروی‌الحسینی (دانشجوی دکتری)

مهندی معروفت (داشوار)

کبودت مظاہری (دانشیار)

دانشکده‌ی فنی و مهندسی - بخش هندسی مکانیک، دانشگاه تربیت مدرس

در این نوشتار، سازوکارهای احتراق کامل و کاهش‌یافته از نقطه‌نظر کاربرد در مشعل متخلخل مقایسه شده است. از آنجاکه سازوکارهای احتراق کامل نوع گستردگی دارند و قیز با توجه به احتراق متان، در گام نخست معروفترین آنها یعنی سازوکار احتراقی GRI3.0 و سازوکار پیشنهادی میلر انتخاب شده‌اند. در گام دوم سازوکارهای کاهش‌یافته‌ی حاصل از دو سازوکار کامل مذکور مورد بررسی قرار گرفته‌اند که از آن میان سازوکار پیشنهادی ۱۶ واکنشی برای سازوکار کامل میلر، و سازوکار کاهش‌یافته‌ی ۱۵ واکنشی برای سازوکار کامل GRI3.0 انتخاب شده است. نتایج شبیه‌سازی عددی حاکی از تطابق قابل قبول سازوکارهای کاهش‌یافته با سازوکارهای اصلی در مدل‌سازی مشعل متخلخل است. در مورد پروفیل دمایی تقریباً تمامی سازوکارها تقریب یکسانی ارائه داده‌اند. درخصوص پروفیل غلظت  $CO$  در طول مشعل، تفاوت اندکی بین دو سازوکار احتراق کامل مشاهده شد که به نظر می‌رسد علت آن تفاوت تخمین غلظت گونه‌های  $HCO$  و  $HO_2$  باشد. در آینده‌ی  $NO$  تفاوت محسوسی بین تخمین دو سازوکار مشاهده شده است که علت آن تفاوت در تخمین  $NO$  فنی مور است. سرعت اشتعال تعیین شده توسط دو سازوکار تفاوت محسوسی با نتایج تجربی دارد. دو سازوکار کامل احتراقی تخمین یکسانی در ناحیه‌ی احتراق رقیق نشان می‌دهند در حالی که در ناحیه‌ی احتراق غنی، سرعت اشتعال سازوکار میلر بیشتر از سازوکار GRI3.0 به دست آمده است.

### فهرست علائم

$C_p$ : ظرفیت حرارت ویژه

$I$ : شدت تشعشع

$h$ : آنتالپی ویژه - ضریب انتقال حرارت جابه‌جا

$H_v$ : ضریب انتقال حرارت حجمی

$m$ : دمی جرمی به‌ازای واحد سطح

$q_r$ : شار تشعشعی

$T$ : دما

$U$ : سرعت محوری

$V$ : سرعت توزیع

$X$ : محور طول مشعل

$Y$ : کسر جرمی

$S$ : بردار جهت شار تشعشعی

$w$ : وزن تکییک زاویه‌یی در روش عرض مجزا (DOM)

$e$ : بردار یکه سطح

### نکات لاتین

$\epsilon$ : ضریب صدور

$\phi$ : نسبت تخلخل

### ۱. مقدمه

احتراق متان به دلیل کاربرد آن در مسائل صنعتی یکی از موضوعات قابل توجه محققین بوده است. مدل‌سازی‌های اولیه‌ی احتراق بر مبنای سازوکار تک مرحله‌یی به عنوان تقریبی قابل قبول، توصیفی از احتراق گاز طبیعی در برخی مسائل مهندسی به دست داده است. نیاز به تعیین سرعت شعله، الاینده‌های زیست‌محیطی، کارایی احتراق و مجہولاتی از این دست باعث پیشنهاد سازوکارهای کامل‌تر احتراقی شده است.

۳. اضافه کردن معادلات انتقال حرارت تشعشع (هشت معادله)؛
۴. اصلاح معادلات بقای ذرات و پیوستگی (در نظر گرفتن تخلخل در آنها)؛
۵. اصلاح معادله‌ی بقای انرژی فاز گاز (اضافه کردن عبارت انتقال حرارت جابه‌جایی و در نظر گرفتن تخلخل)؛
۶. اضافه کردن معادله‌ی بقای انرژی فاز جامد؛
۷. اضافه کردن یا اصلاح شرایط مرزی؛
۸. حل معادلات اضافه شده با استفاده از روش بهبود یافته‌ی نیوتون به صورت ضمنی.

از آنجا که مذکور برای محاسبات شعله‌ی آرام پیش‌آمیخته‌ی آزاد کاملاً شناخته شده و مورد اطمینان است، با تغییرات داده شده در آن، کد قابل اطمینانی برای مدل سازی احتراق درون محیط متخلخل به دست آمده است.

## ۲. معادلات حاکم و روش حل

مشعل متخلخل مورد استفاده در این تحقیق به صورت یک بعدی در نظر گرفته شده است (شکل ۱). از آنجا که هدف بررسی سازوکارهای احتراقی است، انتقال حرارت از دیواره‌های جانبی مشعل ناچیز فرض شده و در نتیجه می‌توان از معادلات حاکم یک بعدی در مدل سازی استفاده کرد. قواعد معادلات حاکم بر احتراق در محیط متخلخل با معادلات حاکم بر احتراق در فضای آزاد در اضافه شدن معادلات بقای انرژی فاز جامد است. در این مدل سازی به دلیل طول نسبتاً کوتاه مشعل متخلخل از افت فشار در جهت حرکت جریان صرف نظر شده و جریان سیال نیز آرام در نظر گرفته شده است. معادلات حاکم در مشعل متخلخل که از متوسط‌گیری حجمی به دست آمده‌اند عبارتند از:

معادله‌ی پیوستگی یا بقای جرم:

$$\frac{\partial(\rho_g\phi)}{\partial t} + \frac{\partial(\rho_g\phi U)}{\partial x} = 0 \quad (1)$$

معادله‌ی بقای گونه‌های شیمیایی:

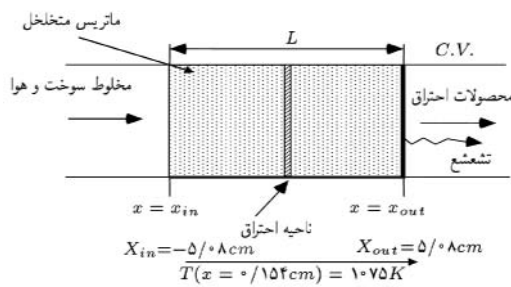
$$\rho_g\phi \frac{\partial Y_k}{\partial t} + \rho_g\phi U \frac{\partial Y_k}{\partial x} + \frac{\partial}{\partial x}(\rho_g\phi Y_k V_k) - \phi \omega_k W_k = 0 \quad (2)$$

انتخاب سازوکار احتراقی مناسب با توجه به شرایط عملکردی مشعل و همچنین نوع شعله مستلزم توجهی خاص است. شعله‌ی مشعل متخلخل به دلیل تبادل حرارتی که گاز با ماتریس متخلخل دارد پروفیل دمایی متفاوتی نسبت به شعله‌ی آزاد آرام دارد. این مسئله باعث متفاوت بودن رفتار غلظت گونه‌های شیمیایی در این نوع مشعل می‌شود. خصوصیات متفاوت احتراق و انتقال حرارت در محیط متخلخل نسبت به شعله‌ی آزاد، و نقش کلیدی سینتیک احتراق در پیشرفت واکنش‌ها، بررسی و مقایسه‌ی کارایی سازوکارهای پیشنهادی سینتیک احتراق در مشعل‌های متخلخل را ضروری ساخته است. در تحقیق انجام شده توسط هو و همکاران، عدم استفاده از سازوکارهای عمومی تک مرحله‌یی در مدل سازی مشعل متخلخل پیشنهاد شده است.<sup>[۱]</sup> در تحقیقی دیگر، زو و پریا چهار نوع سازوکار مختلف احتراقی در مدل مشعل متخلخل با یکدیگر مقایسه کرده‌اند.<sup>[۲]</sup> این سازوکارها عبارت بودند از: سازوکار کامل میلر، سازوکار اسکلتی حاصل از سازوکار میلر، سازوکار کاهش‌یافته‌ی چهار مرحله‌یی، و سازوکار تک مرحله‌یی احتراق متان. محققین دیگری، به استناد سازوکار کامل GRI2.1 و سازوکار کاهش‌یافته‌ی ۱۰ واکنشی که از روش اغتشاش تکین محاسباتی<sup>[۱]</sup> به دست آمده، صحت استفاده از سازوکارهای کاهش‌یافته را مورد بررسی قرار داده‌اند.<sup>[۳]</sup> برخی از آنان نیز بدون بررسی سازوکارهای احتراقی، یک نمونه از آنها را انتخاب کرده‌اند و به بررسی سایر خصوصیات مشعل متخلخل پرداخته‌اند.<sup>[۴]</sup>

از آنجا که تقریباً تمامی محققین یکی از دو سازوکار کامل احتراقی GRI یا میلر را انتخاب کرده‌اند، این نوشتار دقیق این دو سازوکار در تعیین عملکرد مشعل متخلخل را مورد مقایسه قرار می‌دهد. از طرفی سازوکارهای کاهش‌یافته به عنوان ابزاری قدرتمند برای کاهش حجم محاسبات بدون کاستن از دقیق نتایج یکی از موضوعات تحقیقات سال‌های اخیر بوده است. در تحقیق حاضر صحت کاربرد سازوکارهای کاهش‌یافته‌ی می‌بینی بر دو سازوکار کامل مذکور در مدل سازی مشعل متخلخل مورد بررسی قرار گرفته است. این مقایسه با توجه به پارامترهای عملکردی مشعل — مانند دما، سرعت اشتعال و میزان ترکیبات حاصل از احتراق، خصوصاً منوکسیدکربن و منوکسیدنیتروژن — صورت پذیرفته است.

در تحقیق حاضر کد معروف PREMIX از مجموعه کدهای CHEMKIN برای مدل سازی احتراق در محیط متخلخل توسعه یافته است که موارد اعمال شده در آن عبارت‌اند از:

۱. اضافه کردن خواص محیط متخلخل (فار جامد)؛
۲. محاسبه‌ی ضرایب انتقال حرارت محیط متخلخل مانند ضرایب انتقال حرارت تشعشعی و ضرایب انتقال حرارت حجمی در حالتی که این ضرایب ثابت نیستند؛



شکل ۱. شماتیک مشعل متخلخل مورد بررسی در تحقیق حاضر.

جدول ۱. خواص ترموفزیکی ماتریس متخلخل مورد استفاده در مدل. [۱۵]

$\beta = 27 \text{ m}^{-1}$	$\sigma_s = 216 \text{ m}^{-1}$
$H_v = 10^7 \text{ W/m}^3 - K$	$\lambda_s = 1/2 \text{ W/m} - K$
$\rho_s = 5,56 \times 10^3 \text{ kg/m}^3$	$\phi = 0.87, \text{ for PSZ}$ with, ۳/۹, Pore per cm
$c_{p,s} = 824 \text{ J/kg} - K$	

$$\frac{\partial T_g}{\partial x} = 0 \quad \text{at } x = L \quad (6)$$

شرایط مرزی معادله ای انرژی ماتریس متخلخل در ورودی و خروجی مشعل با توجه به بقای انرژی در حجم کنترل سالول‌های مرزی جامد عبارت اند از:

$$\left[ h_i(T_{g,i} - T_s) + \sigma \varepsilon_i (T_{i,surround}^* - T_s^*) \right] (1 - \phi) = -k_{eff,s} \frac{\partial T_s}{\partial x} \quad \text{at } x = 0 \quad (7)$$

$$\left[ h_o(T_{g,o} - T_s) + \sigma \varepsilon_o (T_{o,surround}^* - T_s^*) \right] (1 - \phi) = -k_{eff,s} \frac{\partial T_s}{\partial x} \quad \text{at } x = L \quad (8)$$

که در آنها،  $h_i$  و  $h_o$  ضرایب انتقال حرارت جابه‌جاوی در ناحیه‌ی ورودی و خروجی مشعل هستند که به صورت تجربی تخمین زده شده و معمولاً ثابت در نظر گرفته می‌شوند؛ و در اینجا هردو آنها برابر  $50.0 \text{ W/m}^2$  هستند. [۲] با توجه به بررسی‌های انجام گرفته، نز انتقال حرارت شعاعی نشان داده شده در معادلات ۷ و ۸ نسبت به انتقال حرارت جابه‌جاوی غالباً است و این روز در برخی از محاسبات انجام شده در گذشته از عبارت جابه‌جاوی در شرایط مرزی صرف نظر شده است. [۱۶]

درخصوص معادله ای انتقال تابشی (RTE) فرض شده است که محیط اطراف مشعل نزدیک مانند جسم سیاه عمل می‌کنند. دمای محیط خروجی مشعل نزدیک به دمای گازهای خروجی از مشعل فرض می‌شود و دمای محیط ورودی نیز معادل دمای مخلوط احتراق در نظر گرفته می‌شود. چون در حل معادله ای انتقال تابشی از تقریب DOM

معادله‌ی بقای انرژی فاز گاز:

$$\begin{aligned} \rho_g \phi C_{p,g} \frac{\partial T_g}{\partial t} + \rho_g \phi U C_{p,g} \frac{\partial T_g}{\partial x} - \frac{\partial}{\partial x} \left( \phi \lambda_g \frac{\partial T_g}{\partial x} \right) + \\ \phi \sum_{k=1}^N \rho Y_k V_k C_{p,k} \frac{\partial T_g}{\partial x} + \phi \sum_{k=1}^N h_k \dot{\omega}_k + H_v (T_g - T_s) = 0 \end{aligned} \quad (3)$$

معادله‌ی بقای انرژی فاز جامد:

$$\begin{aligned} \rho_s \phi C_{p,s} \frac{\partial T_s}{\partial t} + \frac{\partial}{\partial x} \left( (1 - \phi) \lambda_s \frac{\partial T_s}{\partial x} \right) + \\ H_v (T_g - T_s) - \frac{dq_r}{dx} = 0 \end{aligned} \quad (4)$$

در روابط فوق  $\phi$  نسبت تخلخل،  $U$  سرعت جویان،  $H_v$  ضریب انتقال حرارت حجمی و  $\lambda_s$  ضریب هدایت حرارتی است. همچنین  $V_k$  و  $Y_k$  به ترتیب کسر جرمی، سرعت انتشار، نرخ تولید مولی،  $h_k$  و  $W_k$  به ترتیب کسر جرمی، سرعت انتشار، نرخ تولید مولی،  $g$  جرم مولکولی و آنتالپی مولی گونه‌ی شیمیایی  $k$  هستند. از آن‌دیس ۸ برای نشان دادن فاز گاز و از آن‌دیس ۶ برای نشان دادن فاز جامد استفاده شده است. یک نمونه مشعل متخلخل تک‌لایه که برای آن نتایج تجربی به منظور مقایسه‌ی صحت نتایج عددی موجود بود، انتخاب شده است. این مشعل از جنس زیرکونیا و به ضخامت ۱۰/۱۶ سانتی‌متر ساخته شده است. خواص ماتریس متخلخل در جدول ۱ آمده است. چون در تحقیقات انجام شده بر پایه‌ی این مشعل ضریب انتقال حرارت حجمی و ضریب هدایت به صورت ثابت در نظر گرفته شده، در اینجا نیز مبنای اولیه همان مقادیر ثابت است. [۱۶]

معمولًاً دو روش برای مدل‌سازی عددی احتراق پیش‌آمیخته وجود دارد: شعله‌ی پایدار شده توسط دبی مشخص ورودی، و شعله‌ی پایدار شده از طریق ثابت نگهداشت دمای یک نقطه از حجم کنترل. [۵] در حالت اول دبی ورودی باید چنان انتخاب شود که ناحیه‌ی احتراق در داخل حجم کنترل تشکیل شود، و در حالت دوم دمای نقطه انتخاب شده از حجم کنترل باید احتراق داخل حجم کنترل را نتیجه دهد. در این محاسبات دمای نقطه‌ی از ناحیه‌ی پیش‌گرمایش ( $x = 0$ ) ثابت فرض شده است ( $1075K$ ) و با توجه به این دما، دیگر پارامترها محاسبه می‌شوند. معیار انتخاب  $x = 175$  برای نقطه‌ی مرجع لزوم مطابقت با نتایج تجربی بوده است و این نقطه با توجه به برآش منحنی تجربی دما انتخاب شده است. [۱۶]

معمولًاً غلظت ترکیبات ورودی به مشعل را می‌توان به صورت جزو مولی یا جرمی مشخص کرد. در خروجی، غلظت گونه‌های شیمیایی از طریق انفال معادله‌ی بقای گونه‌های شیمیایی به دست می‌آید. دمای گاز در ورودی و خروجی از روابط ۵ و ۶ محاسبه می‌شوند. [۶]

$$\dot{m} c_{p,g} (T_{g,i} - T_g) = -k_g \frac{\partial T_s}{\partial x} \quad \text{at } x = 0 \quad (5)$$

استفاده شده است:<sup>[۷]</sup>

$$I(x = \circ, \mu_i) = \\ \varepsilon_i I_b + \frac{1 - \varepsilon_i}{\pi} \sum_{\hat{s}_j \cdot \hat{e}_x} w_j \Phi(\mu_i, \mu_j) I(x, \mu_i, \mu_j) \mu_j \cdot \hat{s}_j \cdot \hat{e}_x < \circ \quad (۹)$$

$$I(x = L, \mu_i) = \\ \varepsilon_i I_b + \frac{1 - \varepsilon_i}{\pi} \sum_{\hat{s}_j \cdot \hat{e}_x} w_j \Phi(\mu_i, \mu_j) I(x, \mu_i, \mu_j) \mu_j \cdot \hat{s}_j \cdot \hat{e}_x > \circ \quad (۱۰)$$

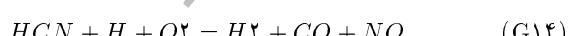
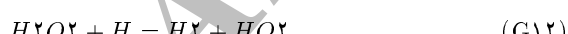
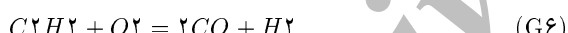
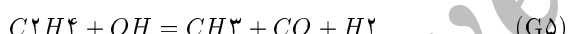
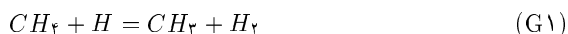
واکنش و ۵۳ گونه‌ی شیمیایی شده است. این سازوکار شامل اکسایش هیدروکربن‌های  $C_1$  و  $NH_2$  و  $HCN$ ,  $C_2$  و دیگر واکنش‌های میانی بین گونه‌های هیدروکربنی و نیتروژن است.

### ۲.۳ سازوکار GRI-Mech 3.0

این سازوکارکه در سال ۱۹۹۹ توسط دانشگاه برکلی در کالیفرنیا پیشنهاد شد، برای گاز طبیعی بهینه شده است و دارای ۳۲۵ واکنش و ۵۳ گونه‌ی شیمیایی است. سازوکار فوق شامل اکسایش هیدروکربن‌های سبک و نیتروژن است؛ و همچنین در آن واکنش‌های سوزش مجدد در نظر گرفته شده است. محدوده‌ی دمایی کاربرد آن بین  $K - ۱۰۰۰$  و  $۲۵۰$  است. محدوده‌ی فشار ۱ کیلوپاسکال است. نسبت اختلاط معتبر برای آن بین ۱۰۰۰ تا ۵ است. سازوکار مورد نظر سومین نسخه‌ی پیشنهاد شده توسط انسیستیتو تحقیقات گاز است.<sup>[۸]</sup>

### ۳.۱ سازوکار کاهش‌یافته‌ی مبتنی بر GRI3.0

این سازوکار دارای ۱۵ واکنش و ۱۹ گونه‌ی شیمیایی است. واکنش‌های این سازوکار عبارت‌اند از:<sup>[۹]</sup>



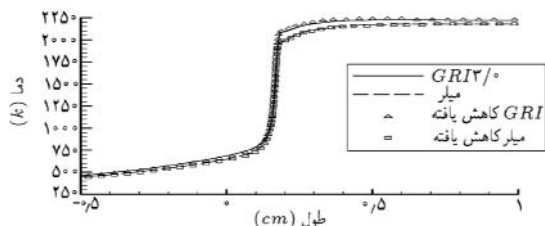
واکنش‌های G1 تا G3 بیان‌گر تبدیل  $CH_4 \rightarrow CH_2$  هستند. واکنش‌های G4 تا G6 به تشکیل ترکیبات  $C_2$  مانند  $C_2H_6$ ,  $C_2H_4$ ,  $C_2H_2$ ,  $C_2H_2$  و همچنین اکسایش آنها می‌پردازند. واکنش‌های G7 و G8 به ترتیب بیان‌گر تشکیل CO<sub>2</sub> و

این حالت دمای گاز و جامد در هر نقطه یکسان فرض شده‌اند. در مرحله‌ی دوم، معادله‌ی انرژی با استفاده از تقریب اولیه‌ی به دست آمده از مرحله‌ی قبل درخصوص گونه‌های شیمیایی حل می‌شود. در این مرحله، معادلات بقای گونه‌های شیمیایی، بقای انرژی فاز گاز، و بقای انرژی فاز جامد بدون در نظر گرفتن عبارت انتقال حرارت تشعشعی حل می‌شوند. پس از همگرایی این مرحله، مرحله‌ی سوم با محاسبه‌ی گرادیان تشعشع از تقریب DOM که دارای ۸ معادله‌ی دیفرانسیل مرتبه‌ی اول است و قراردادن در معادله‌ی بقای انرژی فاز جامد شروع خواهد شد. با همگرایی این مرحله جواب نهایی که به دست خواهد آمد، شبکه‌ی مورد استفاده در کد PREMIX از نوع تطبیق‌یابنده است. برای این منظور جواب به دست آمده از شبکه‌ی اولیه بر روی شبکه‌یی که در گرادیان‌های شدید پارامترها ریز شده است، به عنوان توزیع اولیه مورد استفاده قرار می‌گیرد و مراحل یادشده تا رسیدن به جواب نهایی انجام می‌شود. این روند تا زمانی که تغییرات پارامترها در دو شبکه‌ی متوالی از مقدار مشخصی کمتر شود تکرار می‌شود.

### ۳. سازوکارهای احتراقی

#### ۳.۱. سازوکار میلر

این سازوکار در سال ۱۹۸۹ برای احتراق متان پیشنهاد شده است. سازوکار اولیه دارای ۲۲۷ واکنش و ۴۹ گونه‌ی شیمیایی بوده است که با اندک تغییراتی برای بهبود تخمین اکسیدهای نیتروژن دارای ۲۳۵



شکل ۲. مقایسهٔ پروفیل دمایی به دست آمده از سازوکارهای مختلف در حالت استوکیومتریک (۱) برای دمای ثابت نقطه  $K = 1075K$  در  $T(0, 154cm) = 1075K$

#### ۴. نتایج ۱.۴. پروفیل دما

در شکل ۲ پروفیل تغییرات دما در طول مشعل متخلخل نشان داده شده است. این پروفیل نتایج چهار سازوکار احتراقی در محیط متخلخل را مقایسه می‌کند. در شکل از نشان دادن طول ابتدایی و انتهایی مشعل صرف نظر شده و فقط بخش مرکزی آن (ناحیه احتراق) نشان داده شده است. از آنجا که ضریب انتقال حرارت جابه‌جایی مقدار نسبتاً بزرگی است، دمای فاز جامد و فازگار در محیط متخلخل، به غیر از مقدار ناجیزی در ناحیه‌ی پیش‌گرمایش، یکسان است. بنابراین در شکل فقط یک دما (دمای فازگاز) برای هر سازوکار مشاهده می‌شود.

چنان‌که در شکل ۲ مشاهده می‌شود، مقدار به دست آمده توسط دو سازوکار احتراقی کاهاش‌یافته تطابق قابل قبولی با مقادیر به دست آمده از سازوکارهای کامل دارد. تفاوت اندک نیز بین دو پروفیل دمای حاصل از دو سازوکار کامل مشاهده می‌شود. در ناحیه‌ی خروجی اختلاف دما بین دو نوع سازوکار حداقل ۲۰ درجه‌ی سانتی‌گراد است که چندان قابل توجه نیست. این درحالی است که اختلاف تخمین در بیشینه اختلاف دمایی بین دو سازوکار کامل حدود ۱۲۵ درجه کلوین است که انتظار می‌رود تأثیر آن بر غلاظت گونه‌های شیمیایی نمایان شود.

در ادامه، پروفیل دمای به دست آمده از چهار سازوکار برای دو مخلوط احتراق رقیق ( $\lambda = 1, 2$ ) (اوغنى) در شکل ۳ پروفیل دمایی برای حالت  $\theta = 6, 10$  آورده شده است. در شکل ۳ پروفیل دمایی برای حالت  $\theta = 6, 10$  آورده شده است. چنان‌که مشاهده می‌شود تطابق خوبی بین سازوکارهای مختلف وجود دارد. اختلاف بیشینه بین دو سازوکار کامل در اختلاف دمای بیشینه حدود ۳ درجه کلوین است.

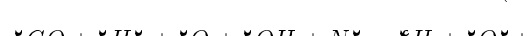
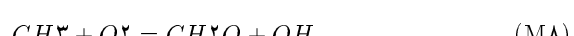
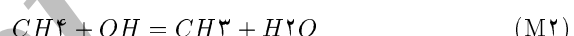
در شکل ۴ پروفیل دمایی برای  $\lambda = 1/2$  نشان داده شده است. سازوکارهای کاهاش‌یافته توافق خوبی با مقادیر به دست آمده از سازوکارهای کامل مربوطه نشان می‌دهند ولی دو سازوکار کامل دمایی متفاوتی را نشان می‌دهند. اختلاف بیشینه بین دو سازوکار کامل در دمای بیشینه، حدود ۱۱۰ درجه کلوین است. این اختلاف در انتهای مسیر کاهش می‌یابد، به‌گونه‌ی که مقادیر دما در خروجی مشعل به يك میزان است.

H<sub>2</sub>O هستند و G<sub>9</sub> تا G<sub>12</sub> سازوکارهای فرعی اکسایش H<sub>2</sub> در واکنش با H<sub>2</sub>O<sub>2</sub> و HO<sub>2</sub> را به نمایش می‌گذارند. سازوکار کالی G<sub>13</sub> بیان‌گر تشکیل NO حاصل از واکنش‌های NO حرارتی، N<sub>2</sub>O واسطه و NO سریع است. واکنش G<sub>14</sub> بیان‌گر واکنش‌های سوختن مجدد و NO سریع است. واکنش G<sub>15</sub> برای بهبود وضعیت فرض نیمه‌متداول گونه‌ی NH<sub>2</sub> آورده شده است.

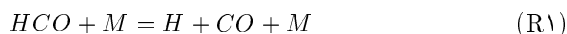
#### ۴.۳. سازوکار کاهاش‌یافته‌ی مبتنی بر 89

این سازوکار نیز با فرض حالت نیمه‌متداول بین ۲۸ گونه‌ی شیمیایی (NH<sub>2</sub>, CH<sub>2</sub>OH, C<sub>2</sub>H<sub>2</sub>, NCO, HCO, NH<sub>2</sub>, CH<sub>2</sub>, CN, NNH, CH<sub>2</sub>(s), CH, C<sub>2</sub>H, C, C<sub>2</sub>H<sub>5</sub>, CH<sub>3</sub>O, HCNO, N<sub>2</sub>O, H<sub>2</sub>O<sub>2</sub>, NH, HCCO, H<sub>2</sub>CN, N, HCN, HOCH, CH<sub>2</sub>CO, HNO, HCCOH) به دست آمده است.<sup>[۱۱]</sup>

در مجموع سازوکار مورد استفاده دارای ۲۰ گونه‌ی شیمیایی و ۱۶ واکنش است. واکنش‌های این سازوکار عبارت اند از:



— بر مبنای سازوکار پیشنهادی میلر و GRI3.0 — عبارت‌اند از:

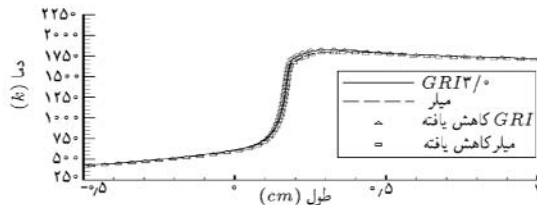


این واکنش‌ها در هر دو سازوکار یکسان‌اند، ولی ضرایب آرینیوسی متفاوتی دارند.

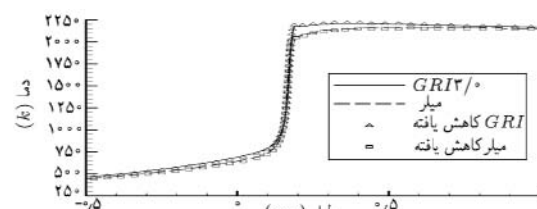
ترکیبات دارای هیدروژن در واکنش‌های اولیه‌ی فوق به شدت بر تولید  $CO$  تأثیرگذارند. تحقیقات انجام‌شده در این زمینه نشان داده است که تخمین دقیق  $H$  و  $OH$  باعث تعیین دقیق غلظت  $CO$  می‌شود.<sup>[12]</sup>

در شکل ۵ تغییرات کسر مولی گونه‌ی  $CO$  در طول محور مشعل نشان داده شده است. همان‌طور که مشاهده می‌شود تفاوت محسوسی بین دو سازوکار کامل احتراق وجود دارد. سازوکارهای کاهش‌یافته نیز تطابق خوبی با سازوکارهای کامل مربوطه نشان می‌دهند. در نسبت اختلاط  $1842/1833$ ، پیک کسر مولی  $CO$  تقریباً دریک نقطه برای دو سازوکار به دست آمده است. در سازوکار GRI3.0 پیک  $CO$  در فاصله‌ی  $1842/1842$  سانتی‌متری از مرکز مشعل و برابر  $329^{\circ}K$  به دست آمده، در حالی که کسر مولی بیشینه‌ی  $CO$  در سازوکار میلر در فاصله‌ی  $1833/1833$  سانتی‌متری از مرکز مشعل و برابر  $376^{\circ}K$  به دست آمده است. در نسبت اختلاط  $1842/1833$  پیک بیشینه‌ی کسر مولی  $CO$  در سازوکار GRI3.0 اندکی جلوتر از سازوکار میلر محسوبه شده است. این مقادیر بیشینه‌ی پیک سازوکار GRI3.0 در فاصله‌ی  $1842/1842$  سانتی‌متر از مرکز مشعل و برابر  $743^{\circ}K$ ، و در سازوکار میلر در فاصله‌ی  $1833/1833$  سانتی‌متری برابر  $793^{\circ}K$  است. اما به‌هر حال نتیجه‌ی مهمی که می‌توان از مقایسه‌ی پروفیل کسر مولی  $CO$  گرفت آن است که سازوکارهای کاهش‌یافته تطابق بسیار خوبی با سازوکارهای کامل مربوطه دارند. به عنوان مثال سازوکار کامل GRI3.0 و سازوکار کاهش‌یافته‌ی آن، در مقطع خروجی اختلافی کمتر از  $18\%$  دارند.

تفاوت در تخمین غلظت‌ها به‌طور نسبی می‌تواند مبنای قضاوت قرار گیرد. به بیان دیگر چنانچه تفاوت در تخمین غلظت‌ها به نسبت غلظت یکی از سازوکارها در نظر گرفته شود می‌توان اندازه‌ی بزرگی اختلاف را مؤثر یا ناچیز دانست. به عنوان مثال درخصوص تفاوت کسر مولی  $CH_2$  حاصل از تخمین‌های دو نوع سازوکار کامل  $-3e^{0.09}$  در بیشترین میزان تخمین غلظت با توجه به غلظت پایه‌ی  $-3e^{1.43}$  در سازوکار میلر به دست آمده است که به‌طور نسبی برابر  $63^{\circ}K$  است. در مورد گونه‌ی  $HCO$  تفاوت تخمین دو سازوکار  $-5e^{3.62}$  در



شکل ۳. مقایسه‌ی پروفیل دمایی بدست آمده از سازوکارهای مختلف در  $T(0, 154cm) = 1075K$  (برای دمای ثابت نقطه‌ی  $\lambda = 0.6$ )



شکل ۴. مقایسه‌ی پروفیل دمایی بدست آمده از سازوکارهای مختلف در  $T(0, 154cm) = 1075K$  (برای دمای ثابت نقطه‌ی  $\lambda = 0.6$ )

در شکل‌های ۲ تا ۴ علت اصلی اختلاف دو نوع سازوکار کامل و در نتیجه سازوکارهای کاهش‌یافته‌ی حاصل از آنها، در تخمین توزیع دمایی مشعل متخلخل، به تخمین‌های متفاوت ترکیبات کربنی بازنگردد. از جمله‌ی مهم‌ترین و تأثیرگذارترین این ترکیبات می‌توان به  $CO$  اشاره کرد که در بخش‌های بعدی به تفصیل مورد بررسی قرار گرفته است. البته چنان که مشاهده می‌شود این عدم تطابق در ناحیه‌ی کوچکی اطراف جبهه‌ی شعله و عمدهاً بعد از آن قرار دارد و در انتهای مشعل که بیان‌گر عملکرد حرارتی آن است یک دما به دست آمده است. معمولاً در آزمایشات تجربی<sup>[15]</sup>، دما در محیط بیرونی مشعل متخلخل اندازه گرفته می‌شود. به دلیل افت حرارت در راستای شعاع، پروفیل دما در سطح خارجی مشعل با پروفیل در راستای محور آن که در محاسبات یک‌بعدی منظور شده است، متفاوت است. از این‌رو در شکل‌های ۲ تا ۴ نتایج تجربی نشان داده شده‌اند.

#### ۲.۴. انتشار $CO$

تشکیل  $CO$  بدليل واکنش‌های سریع مربوط به مصرف متان در ناحیه‌ی اولیه‌ی شعله است. درون این ناحیه گونه‌های بسیار  $CH_x$  سریع‌تر از  $CO$  با رادیکال‌های اکساینده واکنش انجام می‌دهند و بنابراین تا زمانی که غلظت  $CH_x$  با خروج گاز از این ناحیه پایین نیاید،  $CO$  نمی‌تواند اکسید شود. این اکسایش کند  $CO$  در ناحیه‌ی تانویه‌ی شعله از لحظه سیستمیکی در احتراق پیش‌آمیخته قابل توجه است. واکنش‌هایی که بر تشکیل  $CO$  در احتراق پیش‌آمیخته مؤثرند

احتراقی پیش‌آمیخته‌ی فقیر است.<sup>[۱۲]</sup> واکنش‌های آن عبارت‌اند از:

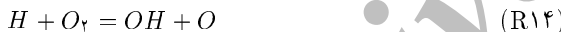


در این دسته واکنش‌های اولیه (R8 تا R11) ابتدا  $H_2O$  تشکیل می‌شود و سپس به  $NO$  تبدیل می‌گردد. همچنین  $N_2O$  می‌تواند به کمک اتم‌های  $H$  و  $O$  تبدیل به  $N_2$  شود. این سازوکار اصلی‌ترین عامل تولید  $NO$  در دماهای پایین است.

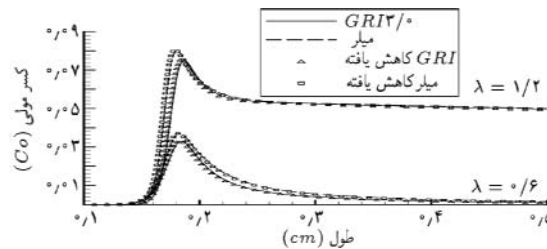
$NO$  سریع حاصل از اکسایش گونه‌های آمین یا سیاند<sup>۲</sup> و اتم‌های نیتروژن است. اتم‌های نیتروژن و سیاند از رادیکال‌های هیدروکربن بر بنای واکنش زیر حاصل می‌شوند:



اکسیداسیون  $HCN$  به  $NO$  شامل زنجیره‌ی  $HCN \rightarrow CN \rightarrow NCO \rightarrow NO$  و اکسایش  $N$  به  $NO$  است. کورا و اسموک واکنش‌های زیر را بر سرعت شعله و دمای آن، و درنتیجه بر واکنش‌های  $NO$  مؤثر دانسته‌اند. در تحقیق دیگری که توسط کلاربورگ و همکارانش انجام شده، تأثیر پذیری تولید  $NO$  از غلظت  $OH$  اثبات شده است.<sup>[۱۳]</sup>



تمامی سازوکارهای R5 تا R15 بین دو سازوکار کامل احتراقی مورد بحث مشترک‌اند، ولی ضرایب آرینیوسی آنها متفاوت است. درخصوص سازوکارهای سه‌جزوی که گونه‌ی سوم ( $M$ ) باید تعریف شود نیز دو سازوکار گونه‌های شیمیایی مختلفی را در نظر گرفته‌اند. تغییرات غلظت  $NO$  بر حسب کسر مولی در طول مشعل متخلخل برای سه حالت مخلوط فقیر، استوکیومتریک و غنی در شکل‌های ۱۱ تا ۱۳ آورده شده است. همان‌طور که مشاهده می‌شود در حالت احتراق فقیر و غنی، بین دو سازوکار کامل مورد بررسی تفاوت محسوسی وجود دارد. سازوکارهای کاهش‌یافته نیز به جز سازوکار کاهش‌یافته‌ی GRI3.0 در حالت مخلوط فقیر ( $\lambda = ۰/۶$ ) به صورت قابل قبولی از سازوکارهای کامل تبعیت کرده‌اند (شکل ۱۱). به طور کلی مقادیر به دست آمده برای کسر مولی  $NO$  حاصل از سازوکار GRI3.0 تخمین بیشتری نسبت به سازوکار میلر به دست می‌دهد. برای تعیین علت این اختلاف، بررسی دیگر گونه‌های شیمیایی مؤثر در تولید  $NO$  ضروری است.



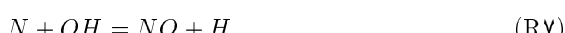
شکل ۵. تغییرات کسر مولی  $CO$  در طول محور مشعل حاصل از سازوکارهای مورد بررسی و دو مخلوط احتراق غنی و فقیر در نسبت اخلاط‌های  $\lambda = ۰/۶$  و  $\lambda = ۰/۲$ .

بیشترین میزان غلظت و غلظت پایه‌ی  $5 - ۴e^{-\frac{3}{4}e}$  حاصل از سازوکار میلر به طور نسبی برابر  $1/۰/۶$  به دست می‌آید. بنابراین این اختلافات به صورت نسبی مبنای قضاؤ قرار گرفته‌اند.

با مراجعه به معادلات R1 تا R4 و مشاهده تغییرات هریک از گونه‌های مؤثر در غلظت  $CO$  که در شکل‌های ۶ تا ۱۰ آورده شده، می‌توان نتیجه گرفت که در حالت مخلوط فقیر ( $\lambda = ۰/۶$ ) تفاوت چندانی در دو سازوکار بین گونه‌های  $H$ ،  $CH_2$  و  $OH$  حاصل از دو سازوکار وجود ندارد. زیرا چنان‌که در شکل‌های ۷، ۸ و ۹ مشاهده می‌شود، دو سازوکار تقریباً تخمین مشابهی از این گونه‌های شیمیایی ارائه داده‌اند، اما تفاوت محسوسی بین تخمین دو سازوکار برای دو گونه‌ی  $H_2O$  و  $HCO$  (واکنش R2) وجود دارد. بنابراین می‌توان نتیجه گرفت که تفاوت حاصله از دو سازوکار کامل میلر و GRI3.0 ناشی از تفاوت در تعیین گونه‌های  $H_2O$  و  $HCO$  است. در حالت مخلوط غنی ( $\lambda = ۰/۲$ ) علاوه بر دو گونه‌ی اشاره شده، غلظت گونه‌های  $CH_2$  و  $H$  نیز بر تفاوت غلظت به دست آمده  $CO$  در دو سازوکار احتراق مؤثر است.

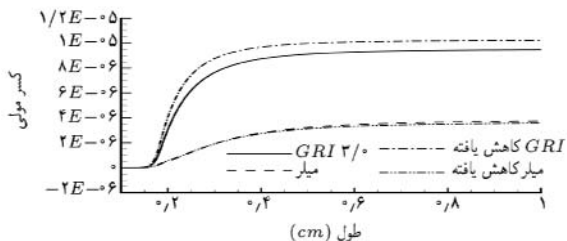
#### ۳.۴. انتشار $NO$

یکی دیگر از گونه‌های شیمیایی مهم در احتراق پیش‌آمیخته، آلینده‌ی  $NO$  است. واکنش‌های تولید  $NO$  با نز بسیار کندتری نسبت به آزادسازی انرژی احتراق انجام می‌شوند. تشکیل  $NO$  در شعله‌ی متان حاصل از سه سازوکار حرارتی،  $N_2O$ ،  $W$  و  $N$  سریع است. تشکیل  $NO$  حرارتی به دلیل واکنش اتم‌های  $O$  و  $N$  است.

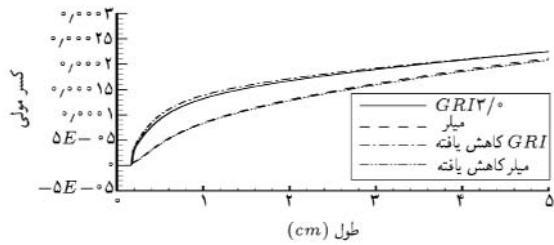


$NO$  حرارتی که منبع اصلی  $NO$  در دمای بالاست معمولاً در دماهای بالاتر از  $K ۱۸۰$  رخ می‌دهد.

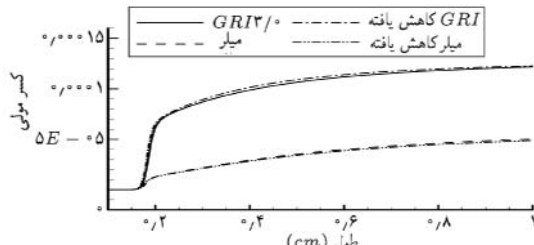
سازوکار  $N_2O$  واسطه موثرترین عامل تولید  $NO$  در سیستم‌های



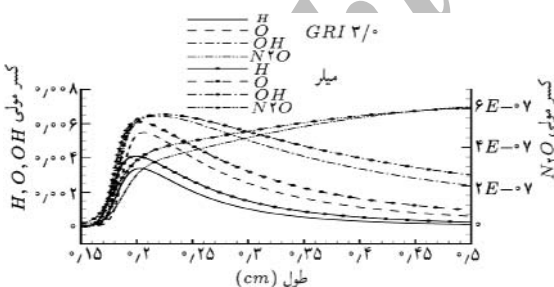
شکل ۱۱. تغییرات غلظت گونه‌ی  $NO$  در امتداد محور مشعل حاصل از سازوکارهای مورد بررسی در  $\lambda = 0.6$ .



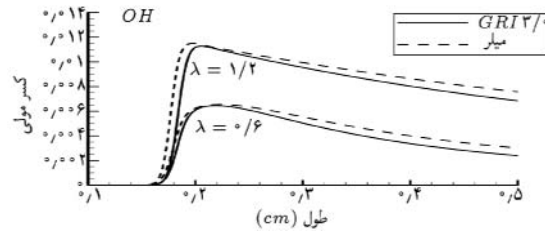
شکل ۱۲. تغییرات غلظت گونه‌ی  $NO$  در امتداد محور مشعل حاصل از سازوکارهای مورد بررسی در  $\lambda = 1.0$ .



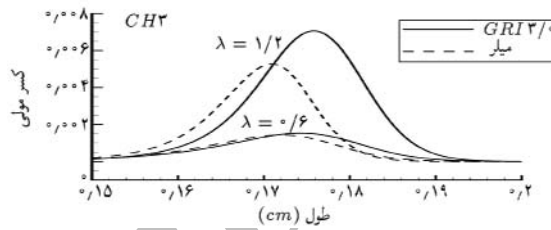
شکل ۱۳. تغییرات غلظت گونه‌ی  $NO$  در طول محور مشعل حاصل از سازوکارهای مورد بررسی در حالت  $\lambda = 1.2$ .



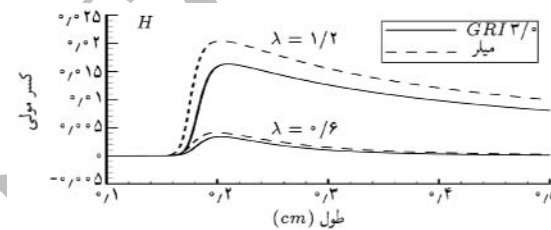
شکل ۱۴. تغییرات غلظت گونه‌های  $O$ ,  $H$ ,  $OH$ ,  $N_2O$  و  $NO$  در دو سازوکار کامل در حالت  $\lambda = 0.6$ .



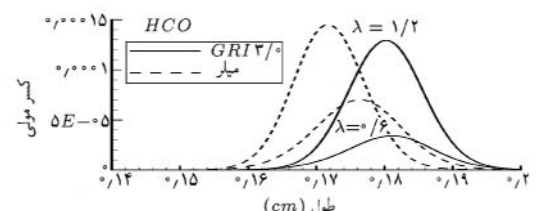
شکل ۶. تغییرات غلظت گونه‌ی  $OH$  در طول محور مشعل.



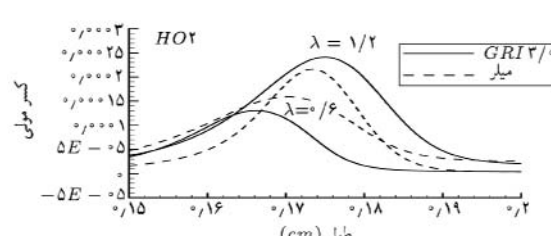
شکل ۷. تغییرات غلظت گونه‌ی  $CH^3$  در طول محور مشعل.



شکل ۸. تغییرات غلظت گونه‌ی  $H$  در طول محور مشعل.



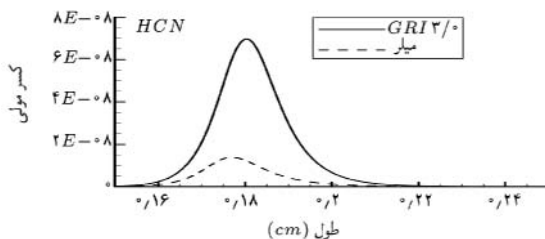
شکل ۹. تغییرات غلظت گونه‌ی  $HCO$  در طول محور مشعل.



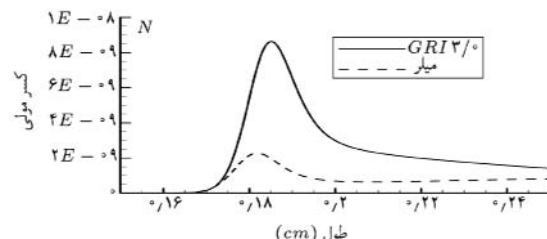
شکل ۱۰. تغییرات غلظت گونه‌ی  $HO_2$  در طول محور مشعل.

مشابه این رفتار در دو مخلوط احتراقی دیگر نیز وجود دارد. چنان‌که مشاهده می‌شود، اختلاف محسوسی بین این گونه‌های شیمیایی حاصل از دو سازوکار کامل احتراقی به چشم نمی‌خورد. این گونه‌ها در شکل‌گیری  $NO$  حرارتی و  $N_2O$  واسطه مؤثرند. بررسی سازوکار  $NO$  فنی موربا مقایسه‌ی دو گونه‌ی شیمیایی  $HCN$  و  $N$  انجام شده.

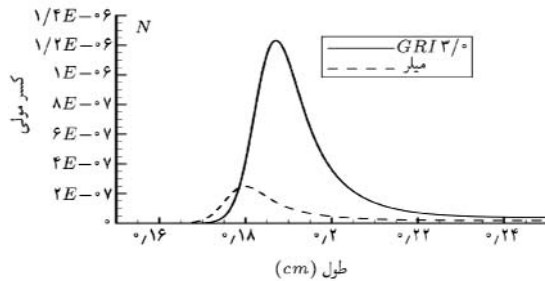
چنان‌که پیش‌تر اشاره شد، تعیین علت اختلاف در کسر مولی  $NO$  به دست آمده از دو سازوکار نیازمند بررسی دیگر گونه‌های مؤثر در سه دسته سازوکار تولید  $NO$  است. در شکل ۱۴ تغییرات چهار گونه‌ی  $O$ ,  $H$ ,  $OH$  و  $N_2O$  برای مخلوط ذقیر آورده شده است.



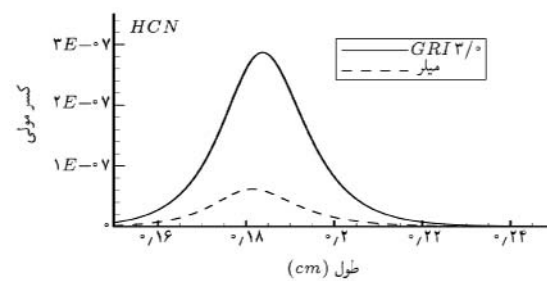
شکل ۱۸. تغییرات کسر مولی HCl در  $\lambda = ۱۷.۰$  در HCN.



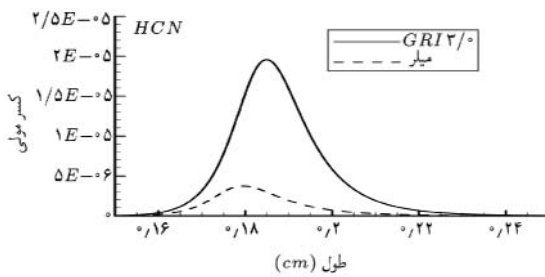
شکل ۱۵. تغییرات کسر مولی N در  $\lambda = ۱۶.۶$ .



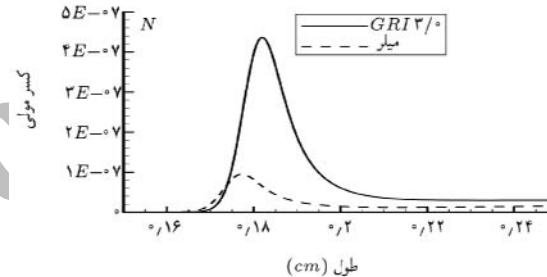
شکل ۱۹. تغییرات کسر مولی N در  $\lambda = ۱۶.۲$ .



شکل ۱۶. تغییرات کسر مولی HCl در  $\lambda = ۱۶.۶$ .



شکل ۲۰. تغییرات کسر مولی HCl در  $\lambda = ۱۶.۲$ .



شکل ۱۷. تغییرات کسر مولی N در  $\lambda = ۱۶.۰$ .

متخلخل را برای نسبت اخلاقاطهای مختلف نشان می‌دهد. چنان‌که مشاهده می‌شود، نتایج با مقادیر تجربی به خوبی مطابقت دارند و از بین دو سازوکار کامل احتراقی، سازوکار GRI3.0 از دقیق‌تری برخوردار است. اختلافی که بین سازوکارهای کاهاش‌یافته و سازوکارهای کامل مشاهده می‌شود به دلیل استفاده از شبکه‌ی محاسباتی با تعداد نقاط بیشتر در سازوکارهای کاهاش‌یافته است. قابل ذکر است که شکل ۲۱ با استفاده از ۳۵۰ نقطه‌ی محاسباتی برای سازوکارهای کامل و ۱۰۰۰ نقطه‌ی برای سازوکارهای کاهاش‌یافته به دست آمده است.

بزرگ‌ترین عامل در کاهش تعداد نقاط شبکه‌ی محاسباتی سازوکارهای کامل، حجم محاسبات و درنتیجه زمان لازم برای هم‌گرایی است. از این‌رو با اطمینان می‌توان گفت که استفاده از سازوکارهای کاهاش‌یافته از لحاظ هزینه‌ی محاسبات مفروض به صرفه‌تر از سازوکارهای کامل است. در مدل‌سازی شعله‌آزاد به دلیل نیاز به تعداد شبکه‌ی محاسباتی کمتر، این موضوع در حالت یک بعدی قابل توجه نیست. طبق مقایسه‌ی انجام شده، تعداد سلول‌های مورد نیاز برای رسیدن به جواب مستقل از

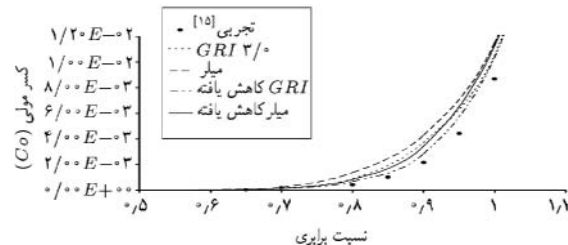
است. شکل‌های ۱۵ تا ۲۰ بیان‌گر کسر مولی حاصل از دو سازوکار کامل مورد بحث برای گونه‌های شیمیایی HCl و N در مخلوط رقیق، استوکیومتریک و غنی است.

چنان‌که در شکل‌های ۱۵ تا ۲۰ مشاهده می‌شود تفاوت قابل توجهی بین گونه‌های N و HCl حاصل از دو سازوکار وجود دارد. این تفاوت بیان‌گر اختلاف دو سازوکار در تخمین NO فنی مور است. از مقایسه‌ی مقادیر به دست آمده از دو سازوکار با نتایج تجربی می‌توان صحت هریک از آنها را بررسی کرد.

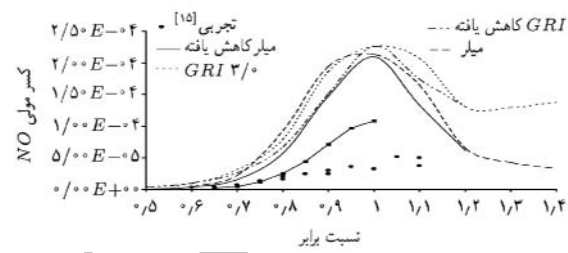
#### ۴. مقایسه با نتایج تجربی

مقایسه‌ی نتایج مدل‌سازی عددی با نتایج تجربی برای گونه‌های CO و NO بیان‌گر دقیق‌تری هریک از سازوکارهای مورد بررسی است. در شکل ۲۱ نتایج حاصل از حل عددی سازوکارهای مختلف احتراقی مورد نظر با مقادیر تجربی به دست آمده از تحقیقات موجود<sup>[۱۵]</sup> نشان داده شده‌اند. شکل ۲۱ مقدار کسر مولی منوکسیدکربن در مقطع خروجی مشعل

سازوکار زلدوویج توسعه‌یافته به دلیل اینکه فقط  $NO$  حرارتی را در نظر می‌گیرد تخمین کم‌تری را نشان داده است. بررسی استفاده از سازوکارهای مختلف  $NO$  در تحقیق دیگری که به صورت عددی و آزمایشگاهی انجام شده، ارائه شده است.<sup>[۱۶]</sup> با توجه به تحقیقات انجام‌گرفته نتیجه گرفتن این موضوع که سازوکارهای میلر و GRI3.0 در مقایسه با سازوکار زلدوویج برای تخمین اکسید نیتروزن ناتوان ترند، صحیح نیست زیرا در این مدل سازی برخی کمیت‌های ترموفیزیکی، مانند خصوصیات شعشعی بستر متخلخل، ضریب انتقال حرارت حجمی، و ضریب انتقال حرارت هدایت دارای تغیری هستند که هریک در محاسبات خطابی را وارد می‌کنند. به عنوان مثال افزایش ضریب انتقال حرارت جایه‌جایی باعث افزایش نرخ انتقال حرارت به ناحیه‌ی پیش‌گرمایش می‌شود و در نتیجه سرعت اشتعال افزایش می‌پذیرد. افزایش سرعت اشتعال باعث کاهش مقدار تولید اکسیدهای نیتروزن می‌شود.<sup>[۱۷]</sup> بنابراین نمی‌توان این نتیجه‌گیری را با وجود خطاهای مختلف در کمیت‌های ترموفیزیکی و در نتیجه تغییر پروفیل دمایی، خصوصاً در ناحیه‌ی احتراق، و اثر آن بر تولید اکسیدهای نیتروزن صحیح دانست.



شکل ۲۱. مقایسه‌ی منوکسیدکردن در مقطع خروجی مشعل، حاصل از سازوکارهای مختلف احتراق با نتایج تجربی.



شکل ۲۲. مقایسه‌ی اکسید نیتروزن در مقطع خروجی مشعل حاصل از سازوکارهای مختلف احتراق با نتایج تجربی.

شبکه‌ی محاسباتی برای مشعله آزاد (با استفاده از سازوکار GRI-3.0) در حدود ۱۰۰ نقطه است؛ در حالی که در مشعله درون محیط متخلخل این تعداد نقاط با توجه به سازوکار انتخابی بین ۸۰ تا ۱۰۰ نقطه است. در شکل ۲۲ تغییرات کسر مولی  $NO$  با نسبت احتلال در مقطع خروجی مشعل برای سازوکارهای مختلف سینتیکی مورد مقایسه قرار گرفته است. در این شکل همچنین نتایج تجربی و محاسبات انجام شده توسط هسو و ماتیو<sup>[۱]</sup> نشان داده شده است. همان‌طور که مشاهده می‌شود، نتایج تجربی و نتایج حاصل از مدل سازی عددی تفاوت آشکاری دارند. پیش‌تر اشاره شد که جواب سازوکارهای کامل احتراقی به دلیل تعداد نقاط شبکه‌ی محاسباتی کم‌تر اندکی با سازوکارهای کاهش‌یافته‌ی مربوطه متفاوت است. با افزایش تعداد نقاط شبکه‌ی محاسباتی، جواب حاصل از سازوکارهای کامل و کاهش‌یافته‌ی مربوطه به یکدیگر نزدیک می‌شوند. برای اثبات این موضوع در حالت احتراق استوکیومتریک تعداد نقاط شبکه‌ی محاسباتی سازوکارهای کامل تا حدود ۸۸۰ نقطه به صورت شبکه‌ی تطبیق‌یافته افزایش یافته است؛ و چنان که در شکل‌های ۲۱ و ۲۲ مشاهده می‌شود جواب سازوکارهای کامل و سازوکارهای کاهش‌یافته یکسان شده‌اند. در تحقیق انجام شده توسط هسو و ماتیو، از سازوکار پیشنهادی محققین در سال ۱۹۸۵ که دارای ۵۸ واکنش و ۱۷ گونه‌ی شیمیایی بود، استفاده شده است. از آنجا که در این سازوکار احتراقی، واکنش‌های نیتروزن موجود نبوده است لذا در مدل سازی مشعل متخلخل از سازوکار فوق با اضافه‌کردن سازوکار زلدوویج توسعه‌یافته استفاده کردند. در شکل ۲۲ دیده می‌شود که

#### ۵.۴. سرعت اشتعال

یکی از پارامترهای مؤثر در عملکرد مشعل متخلخل سرعت سوزش<sup>۳</sup> است؛ و آن عبارت است از سرعت ورود مخلوط اولیه به ماتریس متخلخل بدون آن که دمای اولیه آن افزایش یابد. در شکل ۲۳ سرعت اشتعال در مشعل متخلخل مورد تحقیق برای سرعت اختلاط‌های مختلف نشان داده شده است. مقایسه‌ی سرعت سوزش حاصل از سازوکارهای مختلف سینتیکی حاکی از اطمینان خوب آنها، با استثنای ناحیه احتراق غنی، است. در ناحیه‌ی احتراق غنی سرعت سوزش سازوکار میلر بیشتر از سازوکار GRI3.0 است. علت این اختلاف را می‌توان در تفاوت پروفیل دما در دو سازوکار، در حالت اختلاط خوب آنها، با استثنای ناحیه احتراق غنی، است. در ناحیه‌ی احتراق غنی سرعت سوزش سازوکار میلر بیشتر از سازوکار GRI3.0 است. علت این اختلاف را می‌توان در تفاوت سرعت سوزش محاسبات انجام شده توسط هسو، که قبل از آن اشاره شد، کم‌تر از چیزی است که در این تحقیق به دست آمده است. علت این موضوع را می‌توان تفاوت در مدل سازی مسئله دانست. (تفاوت در مدل سازی به دلیل سرعت مؤثر متفاوت در فاز گاز و همچنین شرایط مرزی مختلف است).

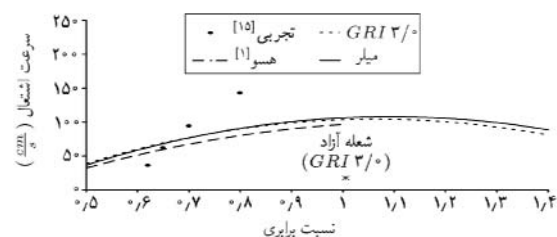
نکته‌ی قابل توجه در این شبیه‌سازی‌ها، اختلاف مشهود بین نتایج عددی و نتایج آزمایشگاهی است. از جمله عوامل این عدم تطابق، می‌توان به عدم قطعیت در خواص ترموفیزیکی و ضرایب انتقال حرارت حجمی بین فاز جامد و گاز اشاره کرد. به عنوان مثال در تحقیق حاضر از ضریب انتقال حرارت حجمی ثابت استفاده شده است در حالی که در عمل این ضریب با تغییر سرعت و دمای محلی گاز تغییر می‌کند.

آزاد آرام پیش‌مخلوط است، لزوم استفاده از سازوکارهای کاهش‌یافته را آشکار می‌سازد.

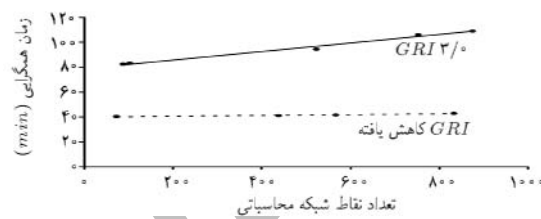
## ۵. نتیجه‌گیری

نتایج شبیه‌سازی عددی از نظر پیش‌بینی عملکرد و تولید آلاینده‌های مشعل متخلخل، حاکی از مطابقت خوب میان سازوکارهای کاهش‌یافته و سازوکارهای اصلی مربوطه است. این تطابق با توجه به حجم کم محاسبات سازوکارهای کاهش‌یافته اهمیت استفاده از آنها را در مدل سازی مشعل متخلخل مشخص می‌کند. درخصوص پروفیل دما تقریباً تمامی سازوکارها تقریب یکسانی به دست داده‌اند. برای پروفیل غلظت  $CO$  در امتداد محور مشعل، تفاوت اندکی بین دو سازوکار کامل احتراقی وجود دارد که علت آن ناشی از تفاوت تخمین غلظت گونه‌های  $HCO$  و  $HO_2$  است.

همچنین در مخلوط غنی علاوه بر دو گونه‌ی شیمیایی مذکور، گونه‌های شیمیایی  $H$  و  $CH_2$  نیز، که بر غلظت  $CO$  مؤثرند، دارای تخمین‌های متفاوتی بوده‌اند. میزان کسر مولی  $CO$  حاصل از دو سازوکار کامل احتراقی با افزایش فاصله از ناحیه احتراق به سمت یک مقدار مشخص میل می‌کند. نتایج تجربی مقدار آلاینده  $CO$  را فقط در ناحیه‌ی خروجی مشعل مشخص کرده‌اند که از این‌رو نمی‌توان بحثی بر روی صحبت تخمین  $CO$  حاصل از دو سازوکار در طول مشعل کرد. درخصوص آلاینده  $NO$ ، تفاوت محسوسی بین تخمین دو سازوکار مشاهده شده است که علت آن ممکن است تفاوت در تخمین  $NO$  فنی مور باشد. از آنجا که این اختلاف در تعیین  $NO$  تا انتهای مشعل ادامه‌می‌یابد، مقایسه‌ی آن با نتایج تجربی دقیق‌تری را برای سازوکار احتراقی می‌آورد. مقایسه‌ی سرعت اشتغال به دست آمده توسط دو سازوکار تفاوت محسوسی را با نتایج تجربی نشان می‌دهد که دلیل آن را می‌توان در عدم قطعیت خواص انتقال حرارت ماده‌ی متخلخل دانست. دو سازوکار کامل احتراقی تخمین یکسانی از سرعت اشتغال در ناحیه‌ی احتراق رقیق نشان می‌دهند در حالی که در ناحیه‌ی احتراق غنی، سرعت اشتغال سازوکار میلر بیشتر از سازوکار GRI3.0 به دست آمده است.



شکل ۲۳. مقایسه‌ی سرعت اشتغال حاصل از سازوکارهای مختلف احتراق و نتایج تجربی.



شکل ۲۴. مقایسه‌ی سرعت هم‌گرایی سازوکار کامل GRI3.0 با سازوکار کاهش‌یافته‌ی آن در حالت احتراق استوکیومتریک در مشعل متخلخل.

## ۶. بررسی هزینه محاسبات

یکی از موضوعات مهم در شبیه‌سازی رایانه‌ی «هزینه‌ی انجام محاسبات» است. از راهکارهای موثر برای کاهش هزینه‌ی محاسبات استفاده از سازوکارهای کاهش‌یافته است. چنان‌که مشاهده شد با استفاده از سازوکارهای کاهش‌یافته، و با توجه به محدوده‌ی کاربرد آنها، می‌توان به همان نتایج به دست آمده از سازوکارهای کامل احتراقی دست یافت. در شکل ۲۴ سرعت هم‌گرایی یکی از این سازوکارهای کاهش‌یافته با سازوکار کامل اصلی مربوطه مقایسه شده است. چنان‌که مشاهده شد با افزایش تعداد شبکه‌ی محاسباتی زمان هم‌گرایی سازوکار کامل می‌شود با افزایش تعداد نقاط شبکه‌ی محاسباتی بدون تغییر باقی مانده است.

توجه به این نکته که در مدل سازی مشعل متخلخل تعداد نقاط شبکه‌ی محاسباتی مورد نیاز برای رسیدن به جوابی مستقل از تعداد نقاط شبکه، بسیار بیشتر از تعداد نقاط مورد نیاز برای مدل سازی شعله شبکه‌ی محاسباتی بدون تغییر باقی مانده است.

## پانوشت

1. computational singular perturbation method
2. cyano
3. burning velocity

## منابع

1. Hsu, P.F. and Matthews, R.D. "The necessity of using detailed kinetics in models for premixed combustion within porous media", *Combustion*

- and Flame*, **93**, pp. 457- 466 (1993).
2. Zhou, X.Y. and Pereira, J.C. "Comparison of four combustion models for simulating the premixed combustion in inert porous media", *Fire and Materials*, **22**, pp. 187-197, (1998).
  3. Diamantis, D.J., Mastorakos, E. and Goussis, D.A. "Simulation of premixed combustion in porous media", *Comb. Theory & modeling*, **6**, pp. 383-411 (2002).
  4. Howell, J., Hall, M. and Ellzey, L. "Combustion of hydrocarbon fuel within porous inert media", *Prog. Energy Combustion Sci.*, **22**, pp. 121-145 (1996).
  5. Kee, R., Grcar, J., Smooke, M. and Miller, J. "A FORTRAN program for modeling steady laminar one dimensional premixed flames" Technical Report SAND85-8240, Sandia National Laboratories (1985).
  6. Leonardi, S.A., Viskanta, R. and Gore, J.P. "Analytical and experimental study of combustion and heat transfer in submerged flame metal fiber burner / heater", *J. Heat Transfer*, **125**, pp. 118-125 (2003).
  7. Modest, M.F. "Radiative heat transfer", New York: McGraw-Hill (1993).
  8. Miller, J.A. and Bowman, C.T. "Mechanism and modeling of nitrogen chemistry in combustion", *Prog. Energy Combust. Sci.*, **15**, pp. 287-338 (1989).
  9. [http://www.me.berkeley.edu/gri\\_mech/](http://www.me.berkeley.edu/gri_mech/).
  10. SUNG, C.J., LAW, C.K. and CHEN, J.Y. "Augmented reduced mechanisms for NO emission in methane oxidation", *Combustion and Flame*, **125**, pp. 906-919 (2001).
  11. Homma, R. and Chen, J.Y. "Reduced mechanisms for prediction of NO<sub>2</sub> formation in methane-air combustion", ASPACC (1999).
  12. Cannon, S.M., Brewster, B.S. and Smoot, L.D. "Stochastic modeling of CO and NO in premixed methane combustion", *Combustion and Flame*, **113**, pp. 135-146 (1998).
  13. Correa, S.M. and Smooke, M.D. "NO<sub>x</sub> in parametrically varied methane flames", 23th Symposium (International) In Combustion, The Combustion Institute, pp. 289-295, (1990).
  14. Glarborg, B., Lilleheie, N.I., Byggstoyl, S., Magnussen, B.F., Kilpinen, P. and Hupa, M. "A reduced mechanism for nitrogen chemistry in methane combustion", 24th Symposium (International) In Combustion, The Combustion Institute, pp. 889-898, (1992).
  15. Chaffin, C., Koenig, M., Koeroghlian, M., Matthews, R., Hall, M., Nichols, S., and Lim, I. "Experimental investigation of premixed combustion within highly porous media", *Proceeding of the ASME/JSME Thermal Engineering Joint Conference*, **4**, pp. 219-224 (1991).
  16. Bouma, P.H., Eggels, R.L.G.M., de Goey, L.P.H., Nieuwenhuizen, J.K. and van der Drift, A. "A numerical and experimental study of the NO emission of ceramic foam surface burners", *Combust. Sci. and Tech.* pp. 108, 193-203 (1995).
  ۱۷. خسروی‌الحسینی، مصطفی؛ معرفت، مهدی. و مظاہری، کیومرث. «مقایسه عددی فرایند احتراق در محیط متخالخل با شعله آزاد پیش‌آمیخته آرام»، نشریه‌ی پژوهشی مهندسی مکانیک ایران، **۸**، صص. ۸۹-۷۳. (۱۳۸۵).
  ۱۸. خسروی‌الحسینی، مصطفی؛ معرفت، مهدی. و مظاہری، کیومرث. «بررسی اثر مدل‌های ضرایب انتقال حرارت بر شبیه‌سازی عملکرد مشعل متخالخل»، نشریه‌ی علمی - پژوهشی مدرس، زیر چاپ.